

建築材料의 熱傳導特性和 實驗

尹 在 振

차 례

1. 머리말
2. 熱傳導率測定裝置
 - 2.1 KSF 2264의 裝置
 - 2.2 KSF 2265의 裝置
 - 2.3 熱流量計를 使用한 裝置
 - 2.4 不定常熱流法
3. 熱傳導率을 좌우하는 要因
 - 3.1 溫度와 熱傳導率과의 關係
 - 3.2 密度와 熱傳導率과의 關係
 - 3.3 濕氣·水分과 熱傳導率과의 關係
 - 3.4 材料의 安全使用溫度
 - 3.5 熱流의 測定에 關한 事項
4. 맺는말

1. 머리말

各種 建築材料의 熱傳導率의 값을 명확히 아는 것은 部材의 熱抵抗, 熱貫流 및 建物의 熱損失 등을 計算하는 경우에 基礎的인 수치로서 매우 重要하다.

建築資材의 品質試驗에 對한 知識이 거의 認識되어 있지 않아 生소한 것으로 여겨지고 있지만 品質試驗結果의 正確性여부는 매우 重要한 問題이다. 즉 試驗方法과 結果가 對하는 것이 重要하며 이것을 올바르게 判斷하지 않으면 그 結果는 도리어 왜곡되고 ㅁ다. 材料試驗을 實施하기 ㅁ 앞서 當당자는 ㅁ저 試驗目的, 試驗方法, 材料의 一般의 性能, 測定裝置의 概要 等에 對한 사항을 숙지하여 ㅁ ㅁ다. 熱傳導率測定에 ㅁ 있어서도 ㅁ러한 基本的인 ㅁ항에 對한 檢討가 ㅁ 없이 測定結果를 計算하므로써 誤謬를 ㅁ하는 ㅁ경우가 ㅁ러 ㅁ다.

예를들면 不定常熱流法에 ㅁ한 試驗結果를 定常熱流法에 ㅁ하여 計算하는 ㅁ경우 等이다. ㅁ러한 ㅁ점들을 ㅁ좀더 ㅁ명확히 ㅁ숙지하여 ㅁ建築材料의 ㅁ品質試驗에 ㅁ正確性을 ㅁ기해야 ㅁ할 ㅁ것이다.

2. 熱傳導率測定裝置

建築材料의 熱傳導率은 ㅁ保溫材⁽¹⁾의 0.018kcal/mh^oc ㅁ에서 ㅁ純銅 340kcal/mh^oc ㅁ정도까지 ㅁ광범위하다.

熱傳導理論은 ㅁ現在 2가지의 ㅁ目的으로 ㅁ使用되고 ㅁ있다. ㅁ하나는 ㅁ工業的인 ㅁ目的으로 ㅁ計剛된, ㅁ航空機의 ㅁRadiator ㅁ같이 ㅁ熱의 ㅁ放散을 ㅁ促進시키는 ㅁ것과 ㅁ또하나는 ㅁ斷熱保溫壁 ㅁ等과 ㅁ같이 ㅁ熱을 ㅁ遮斷시켜서 ㅁ建物의 ㅁ熱損失을 ㅁ防止 ㅁ하고 ㅁ자 ㅁ熱의 ㅁ放散을 ㅁ抑制시키는 ㅁ경우이다. ㅁ여기서 ㅁ強調하고 ㅁ싶은 ㅁ것은 ㅁ壁體를 ㅁ주요하는 ㅁ固體의 ㅁ熱傳導理論은 ㅁ어디까지나 ㅁ熱經濟라는 ㅁ문제, ㅁ다시말하면 ㅁ에너지 ㅁ절약이라는 ㅁ관점에서 ㅁ研究를 ㅁ계속하고 ㅁ있는 ㅁ것이며 ㅁ이것은 ㅁ간단히 ㅁ말해서 ㅁ固體內에서 ㅁ溫度가 ㅁ場所에 ㅁ따라 ㅁ다를때 ㅁ熱은 ㅁ高溫에서 ㅁ低溫으로 ㅁ흐르는 ㅁ現象을 ㅁ말하며 ㅁ熱이 ㅁ분자에서 ㅁ분자로 ㅁ傳熱되어 ㅁ간다는 ㅁ理論이다.

ㅁ 이때의 ㅁ傳熱量은 ㅁ實驗的으로 ㅁ결정되는 ㅁ것이며 ㅁ또한 ㅁ이것이 ㅁ熱傳導率인 ㅁ것이다. ㅁ그러면 ㅁ아주 ㅁ간단한 ㅁ경우에 ㅁ대하여 ㅁ설명해 ㅁ보면:

ㅁ ㅁ無限이 ㅁ넓고 ㅁ균일한 ㅁ두께 ㅁX를 ㅁ가진 ㅁ表面積 ㅁA인 ㅁ固體의 ㅁ壁體가 ㅁ있다고 ㅁ생각하자. ㅁ그 ㅁ한쪽 ㅁ壁體의 ㅁ表面溫度를 ㅁ θ_1 이라고 ㅁ하고 ㅁ다른쪽 ㅁ壁體의 ㅁ表面溫度를 ㅁ θ_2 라고 ㅁ할때 ㅁ이 θ_1, θ_2 가 $\theta_1 > \theta_2$ 의 ㅁ관계가 ㅁ있다고 ㅁ하면 ㅁ그림 ㅁ1에서 ㅁ表示한 ㅁ바와 ㅁ같이 ㅁ熱이 ㅁ左側에서 ㅁ右側으로 ㅁ向하여 ㅁ흐른다. ㅁ이 ㅁ경우 ㅁ熱이 ㅁ壁의 ㅁ表面積 ㅁ Am^2 를 ㅁ통하여 ㅁT時間에 ㅁ $Qkcal$ 의 ㅁ비율로 ㅁ흐른다고 ㅁ하면 ㅁ다음의 ㅁ式이 ㅁ成立된다.

$$Q = \lambda \frac{\theta_1 - \theta_2}{x} A \cdot T$$

이 경우 λ 는 물질에 관한 常數로서 熱傳導率(Heat Conductivity)이라고 하는 것이다. 이것은 實驗的으로 決定되는 物理的인 量이다. 그런데 이 數式은 壁体内的 溫度 分布狀態가 一定하며 時間과 더불어 變化하지 않는 狀態를 말하는 것이며 이것을 熱의 흐름의 定常狀態 (Steady State)라고 하는 것이다. 實은 壁体内的 傳熱現象은 不定常狀態인 것이다. 다시말하면 建築壁体内에서 熱이 흐르는 場所의 여러부분의 溫度가 時間과 더불어 變化하여 가는 傳熱方式인 것이다. 建築壁体에 있어서 熱傳導에 對한 式을 不定常狀態로 취급하기가 힘이 드니까 편의상 定常狀態에서 計算을 하는 경우가 많다.

그래서 熱傳導率測定裝置는 原理的으로 크게 正常熱流法과 不定常熱流法으로 分類된다. 定常熱流法은 測定時間이 길고 (60분표준) 實驗室用으로 보통 쓰여지고 있으며 不定常熱流法은 實驗室用은 물론이고 測定時間이 짧고 (200초정도) 소형이어서 現場測定이 가능하다. KS規格上의 測定裝置는 모두 定常熱流法에 의한 測定方式이다.

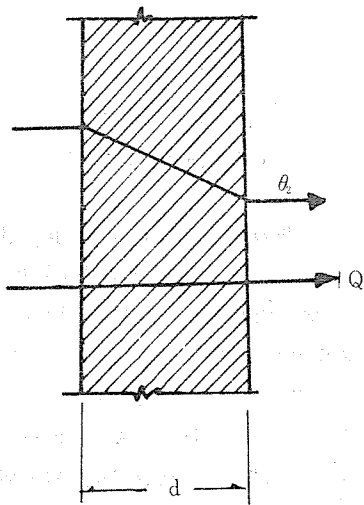
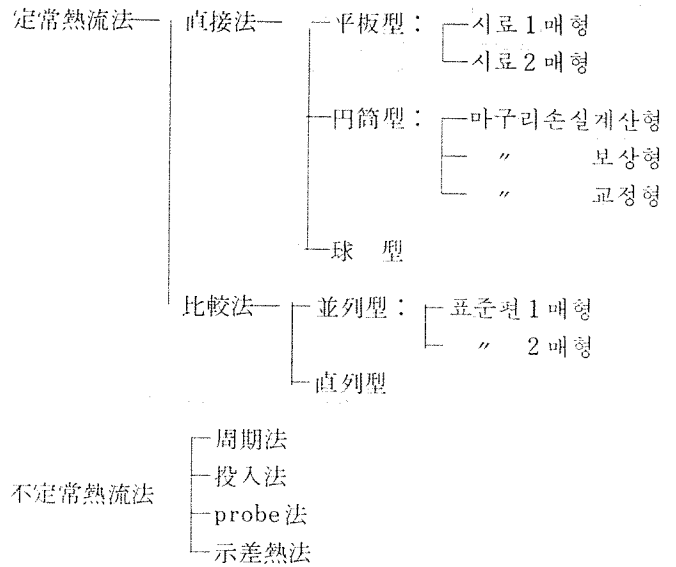


그림 1

註(1): 保溫材는 高溫에서 低溫에 이르기까지 使用範圍와 용도에 따라 種類가 다양하다. 1200℃ 이상에서 使用되는 耐火斷熱材, 30℃~600℃에 使用되는 保溫材, -80℃~30℃에 使用되는 保冷材 및 -273℃~-80℃에서 使用되는 초보냉재 등 溫度에 따라 대략 分類할 수 있다. -80℃~600℃에서 使用되는 것은 명확히 구분하기가 곤란하여 이들은 통상 保溫·保冷材라고 통칭하고 있다.

표 1. 熱傳導率測定裝置의 分類



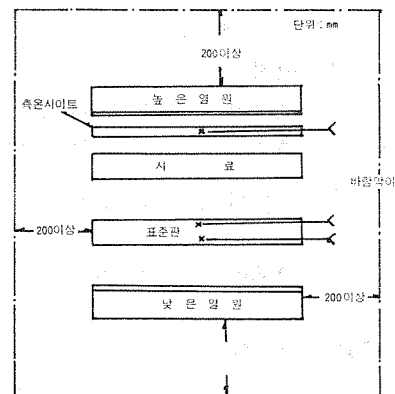
2.1 KSF 2264의 裝置

KSF2265의 直接法에 對해서, 이는 試料를 通過하는 熱量을 標準板(熱傳導率已알려져 있는 材料)의 高度差 및 두께에서 求하는 方法으로서 간편한 測定裝置이지만 그 標準板의 熱傳導率의 精度에 따라서 測定結果가 좌우되며 標準板의 熱傳導率의 檢定이 극히 重要한 事項이다.

또한 一種의 標準板에 對해서 通過熱量과 電氣出力의 關係를 명확히한 熱流量計를 쓰는 方法도 發明하고 있다.

1) 裝置의 構成

測定裝置는 그림 2에 표시한 바와 같이 높은熱源, 낮은熱源, 標準板, 試料, 測溫Sheet 保護板의 本体와 電源安全裝置, 電壓調整器, 溫度測定器 등의 부속기구로 되어 있다. 裝置의 構成圖는 그림 3.4와 같다.



θ_1 : 표준판의 낮은온도쪽 표면온도(℃)
 θ_2 : 표준판의 높은온도쪽 표면온도(℃) 및
 θ_3 : 시료의 높은온도쪽 표면온도(℃) 시료의 낮은온도쪽 표면온도(℃)

그림 2 KSF 2264의 裝置 構成圖

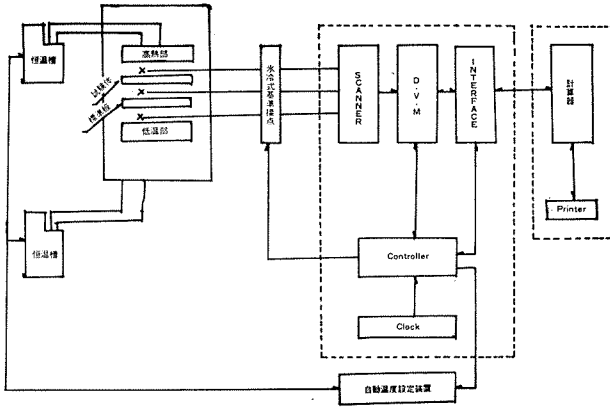


그림 3 熱伝導率測定装置 Block Diagram

2) 試料

試料은 200mm×200mm(±3%), 두께 10~25mm (요철의 차 ±3% 이내) 로서 KSF에 정해져 있지만 加熱板의 치수를 크게 하므로서 두꺼운 材料에 對한 測定도 可能하다.

3) 測定原理

높은 熱源에서 發生한 熱이 試料 및 標準板을 통하여 낮은 熱源에 흘러 들어 충분히 定常狀態에 達한 後에 다음 式에 對하여 熱伝導率을 算出한다.

$$\lambda = \lambda_0 \times \frac{l}{l_0} \times \frac{\theta_2 - \theta_1}{\theta_3 - \theta_2}$$

여기에서 λ = 試料의 平均溫度에서의 熱伝導率 (kcal/mh°C)

λ_0 : 標準板의 平均溫度에서의 熱伝導率 (kcal/mh°C)

l : 試料의 두께 (m)

l_0 : 標準板의 두께

$\theta_3 - \theta_2$: 試料의 양면의 溫度差 (°C)

$\theta_2 - \theta_1$: 標準板의 양면의 溫度差 (°C)

$\frac{\theta_2 + \theta_3}{2}$: 試料의 平均溫度 (°C)

$\frac{\theta_1 + \theta_2}{2}$: 標準板의 平均溫度 (°C)

定常狀態의 判定은 標準板 및 試料의 양쪽에 對하여 양면의 溫度差($\theta_2 - \theta_1, \theta_3 - \theta_2$)의 1時間當 變動이 양면은 0.2% 이내 일때 可로한다.

예를들면 어떤 시각의 兩面溫度差가 10°C 이었다고 하면 그로부터 1時間後의 溫度差가 9.8~10.2°C 범위였다면 定常狀態로 간주한다.

標準板 및 試料의 溫度差($\theta_2 - \theta_1, \theta_3 - \theta_2$)는 3°C 이상의 조건에서 測定한다.

4) 測定時의 注意點

가. 本裝置는 試料 1매로 간단한 操作으로 測定되나 한편 標準板 檢定의 精度에 따라 結果值의 信賴度가 결정되는 특징이 있다.

나. 試料 및 標準板에 흐르는 熱이 定常狀態에 達하는 데에는 비교적 시간이 오래 걸리기 때문에 制御裝置를 붙여야 한다. 試驗을 시작할때는 最終予定電力보다 크게 加熱하고 熱面溫度를 希望溫度에 의하여 약간 높인다. 이후 2~3회 電力을 가감하여 希望溫度에 일치시킨후 最終予定電力을 測定한다.

다. 또한 本裝置는 加熱板의 上下도 均熱板으로 되어 있는 것을 사용하여, 加熱板을 사이에 두고 上下 혹은 左右에 試料와 標準板을 定置하므로서 2매의 試料를 동시에 측정할 수가 있다. 2방향의 熱流로서 測定結果가 얻어질수 있다. 특히 동일재료로서 輻射·對流·伝導가 支配하는 것의 熱流方向別熱抵抗을 구하는데 便利하다.

라. 標準板의 選定은 本裝置에서 가장 重要한 사항이다.

標準板의 要求條件은

- 해(年)가 지나도 變하지 않을것
- 濕氣, 水分의 影響을 받지 않을것
- 使用溫度範圍에서의 變形이 없을것

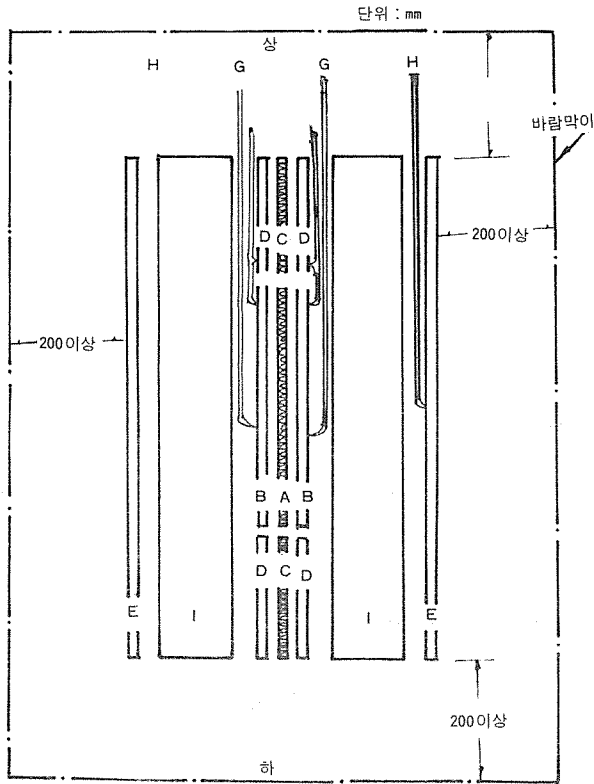
等이다. 그러나 標準板에 있어서 더욱 重要한 것은, 測定 試料의 熱伝導率에 가까운 熱伝導率의 標準板을 使用하는 것이 보다더 測定精度를 높인다는 점이다. 결국 試料와 標準板의 溫度差를 거의 근사하게 한다면 溫度의 測定精度도 거의 같아진다. 그래서 建築材料를 對象으로 하는 경우 예를들면 0.05, 0.1, 0.5kcal/mh°C 정도의 標準板을 쓰고 있다. 즉 試料의 熱伝導率別로 範圍를 나누어 그에 近접한 標準板을 使用하는게 바람직하다.

마. 加熱板·冷却板의 表面溫度分布가 均일한가 均일하지 않는가에 따라 測定結果를 左右한다. 그래서 양자의 表面에는 熱容量이 큰 均熱板을 使用하여 端緣保溫에 신경을 쓰고 있다.

바. 또한 本体를 保護하는 保護箱의 使用도 대단히 重要한 意味를 가진다. 加熱板·冷却板에 端緣保護를 한 경우라도 주변온도가 측면온도와 다르고 그곳에서 熱流가 發生하기 때문에 斷熱性이 큰 保護箱으로 둘러 싼다.

2.2 KSF 2265의 装置(平板直接法)

本装置는 Guarded Hot Plate(G. H. P)라고 알려져서 1942年이래 ASTM C 177에 채용된 것으로서 그 구성은 그림 4와 같다.



- | | | |
|-----------|-------|-------------|
| A : 주 히이터 | 주열판 | I : 시료 |
| B : 주표면판 | 가열판 | F : 시차열전대 |
| C : 보호히이터 | 보호가열판 | G : 열면용 열전대 |
| D : 보호표면판 | | H : 냉면용 열전대 |
| E : 냉각판 | | |

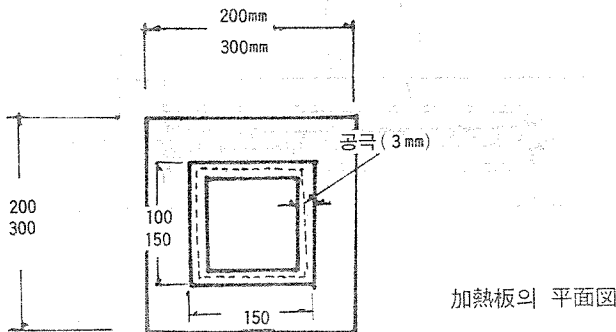


그림 4 KSF 2265의 装置構成圖

1) 装置의 構成

測定装置는 그림 4에 表示한 것과 같은 것으로 加熱源, 冷却源, 溫度測定計器 및 電力測定計器, 電力調節機構로 構成된다.

2) 試料

試料는 칫수 및 密度가 같은 材料를 2개 1쌍으로 하여 試驗한다. 이의 칫수는 加熱板의 칫수가 2種類로 規定되어 있기 때문에 이 加熱板의 칫수에 따라 200×200mm 두께30mm이하, 300×300mm 두께50mm이하의 2種類가 있다. ASTM에는 円板狀의 試料를 使用해도 좋다고 되어 있으나 KS에서는 채용하지 않았다.

3) 測定原理

그림에서 A~D의 加熱板은 정방형인 것으로서 主熱板과 이것에 3mm의 간격을 두어 둘러싼 保護熱板으로 되어 있다. 主熱板은 熱傳導率를 算出하는 対象이 되는 것으로서 칫수는 加熱板이 200mm각 일때는 100mm각, 300mm일 때는 150mm각으로 한다. 實際의 主表面板은 97 또는 147mm각이 된다.

主히이터(Heater)와 保護히이터는 각각 따로 電力을 끌어 들이는 것으로 한다. 간격을 두고 서로 면한 主表面板과 保護表面板의 溫度가 똑같지 않은 것을 찾아 낼 수 있도록 示差熱傳對를 電氣的으로 絶緣하여 고정시킨다. 이것이 本装置의 가장 重要한 部分이다.

즉, 간격을 둔 兩表面의 溫度가 일치할 때 主히이터의 熱量은 試料에 直角으로 흘러 定常狀態로 되는 것이며 이것이 熱傳導率算出의 基礎熱量으로 취급되는 것이다. 示差熱傳對의 接点組數가 많을때 主·保護히이터電力의 調節機構의 作動이 용이하게 된다. 또한 양쪽간격과 전둘레의 溫度差가 積算될수 있다.

冷却板에는 간격을 두지않고 뒷면을 冷却源에 접하는 것으로 한다. 冷却源은 冷却板을 加熱板보다 낮은 一定한 溫度를 가지는 装置로서 冷却시키는 데에는 주위의 공기, 순환액체, 보온재 또는 加熱板보다 적은電力의 히이터를 使用한다.

熱傳導率의 算出은 다음式에 따르며 구해낸 熱傳導率의 값은 2개 試料의 평균값으로 한다.

$$\lambda = \frac{Q}{2A} \cdot \frac{l}{\Delta\theta}$$

여기에서 λ : 試料의 平均溫度에서 熱傳導率 (kcal/mh^{°c})

Q : 0.860P (P...watt)

A : 주열판의 면적(m²)

l : 試料의 두께(m) (2개의 평균에 따름)

$\Delta\theta$: 양쪽 試料의 溫度差(°c)

試料의 平均溫度라 함은 $\frac{\theta_1 + \theta_2}{2}$ 를 말한다.

θ_1 : 熱面溫度(°c) (2개의 平均)

θ_2 : 冷面溫度(°c) (2개의 平均)

이 式에서 Q를 2로 나눈것은 主히이터의 發熱量이 2개의 試料에 均等 分배되기 때문이다.

4) 測定時의 注意点

本装置에서 가장 重要한 것은 主熱板과 保護熱板사이의 熱的均衡을 이루는 것이다. 다시말해서 示差熱傳對列의 出力을 Zero로 유지시키는 것이다. 또한 裝置의 상호간에 結果를 比較하는것도, 빼놓을수 없는 사항이다.

다음은 平板比較法과 直接法에 共通으로 관련된 注意事項이다.

- 入力電源의 安定度가 나쁘면 加熱板에 부여된 電壓·電流의 變動에 의하여 供給熱量이 不安定하게 된다. 예컨대 定常狀態를 기대할수 없다. 그래서 使用裝置의 電流容量에 알맞는 精度가 높은 電源安定 裝置를 使用하여야 한다.
- 冷却板의 溫度는 一定溫度의 空氣 혹은 액체로서 유지시키고, 그의 制御에 유념할 것.
- 電力測定(供給熱量의 測定)도 測定結果를 좌우하는 要因이 된다. 그래서 使用하는 電壓計·電流計 혹은 電力計는 規格品을 쓰도록 한다(0.2급이상—현재 熱傳導率測定裝置는 國內生産이 되지않음).
- 熱傳對의 線의 굵기에 따라서도 測定精度가 좌우된다. 이것은 가능한한 가는선(가능한한 0.1mm 리본열전대: Ribbon thermocouple)을 쓸것.
- 또한 試料, 加熱板 冷却板 사이에 틈이 생기면 정확한 測定이 어렵기 때문에 반드시 쿠션(Cushion)材를 使用하도록 할것.

2.3 熱流量計를 使用한 裝置

一種의 標準板으로 볼 수 있는 熱流量計를 통과하는 熱量과 熱流量計의 出力(mV)과의 關係에서 熱傳導率를 구하는 裝置이다.

裝置의 構成은 高안자에 따라서 각각 다르지만 그중 몇 개를 소개한다.

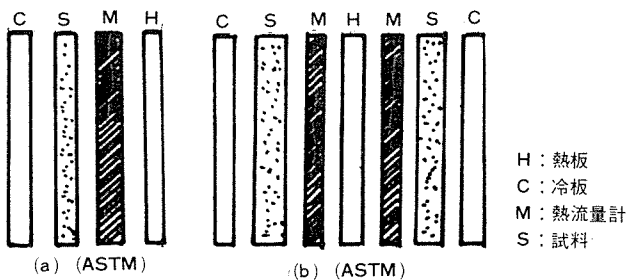


그림 5. 熱流量裝置의 構成

그림 5 (a)는 ASTM C518에 의한것 으로서 그림 2의 KSF 2264에 의한 標準板을 熱流量計로 바꾼것과 같다.그림 5 (b)는 ASTM C 518부록에 있는 것으로서 1개의 高熱源(H)의 양측에 각 1組의 熱流量計(M), 試料(S), 低熱源(C)가 配置되어 있다.

(a) (b) 모두 熱流量計는 試料의 高熱源側에 配置되어 있다. 그러나 熱流量計의 耐熱 溫度를 초과하는 溫度의 測定에는 試料의 低溫側에 配置해도 좋다고 되어있다. 熱傳導率의 算出은 다음식에 의한다.

$$\lambda = S \cdot e \times \frac{\ell}{\Delta\theta}$$

여기에서 λ : 試料의 熱傳導率(kcal /mh^oc)

S : 熱流量計의 感度(kal /m²h/mV)

e : 熱流量計의 出力(mV)

ℓ : 試料의 두께(m)

$\Delta\theta$: 試料의 溫度差(°C)

S는 通過熱量 $Q = \lambda_0 \Delta\theta / \ell$ (Kcal /m²h)과 出力(mV)와의 關係에서 구한다.

$S = Q/e$ 에 의하여 결정되며 熱流量計가 2개 있을때의 通過熱量은 산술평균하여 구한다.

平板比較 및 直接法의 熱傳導率測定裝置는 基礎研究用인데 반하여 本 熱流法에 의한 裝置는 測定時間이 중간정도(10~20분)로서 比較的 짧아 生産工場 등의 品質管理用으로 통상 사용된다.

2.4 KSF 2266의 裝置(원통형사료)

本裝置는 直接法에 속하며 保溫試料의 內徑에다, 철판 內部에 전열기를 裝置한 것으로서 試料內外부의 溫度차이를 測定한다. 또한 원통법에 의하여 熱傳導率을 測定할 경우에는 양쪽끝의 冷却에 의한 오차를 없애기 위하여 그림 6에 표시한 것과 같이 시험편과 같은 材料로 保溫한다

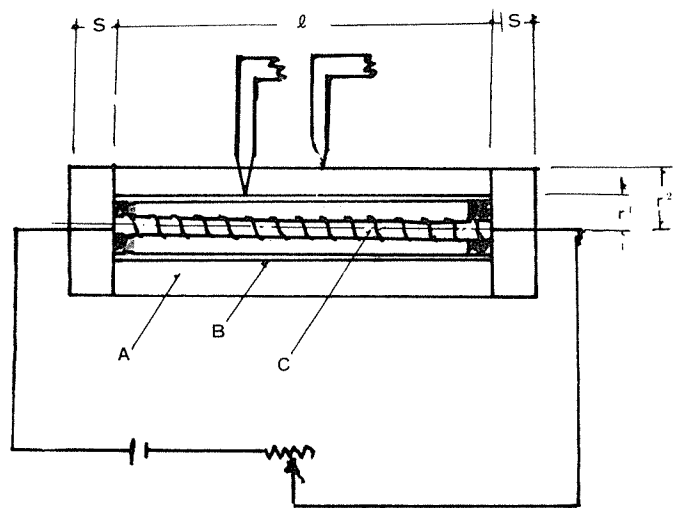


그림 6.

다음식에 의하여 熱傳導率를 算出한다.

$$\lambda = \frac{Q \cdot m (r_2 / r_1)}{2\pi (\theta_1 - \theta_2) (\ell - 2nr_1)}$$

여기에서 λ : 熱伝導率(Kcal /mh^{°C})

Q : (Kcal /h) = $A \times V \times 0.86$

A : 電流 (A)

V : 電熱기 양쪽의 電壓 (V)

ℓ : 試驗片의 길이 (m)

r_1 : 試驗片의 안쪽 반지름 (m)

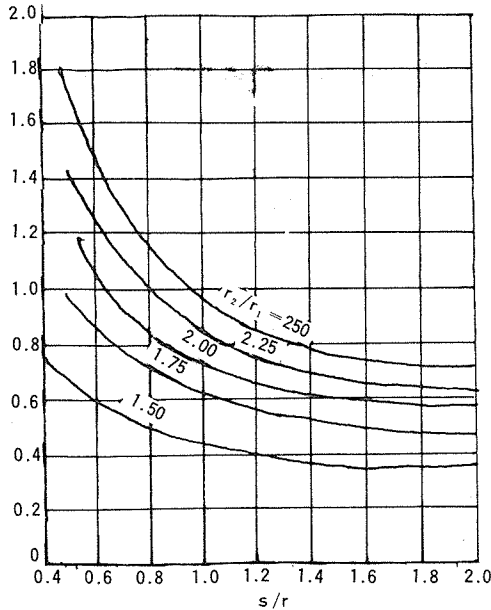
r_2 : 試驗片의 바깥쪽 반지름 (m)

θ_1 : 試驗片의 內面溫度 (°C)

θ_2 : 試驗片의 外面溫度 (°C)

m : 자연대수

n : 그림 7에 의함



S : 끝부분의 보온부 두께 (m) 그림 7

2-5 不定常熱流法

定常熱流法에 속하는 裝置는 그 역사가 깊어 KS, ASTM 등의 規格에 채용되어 있는 것이 많으나 不定常熱流法에 의한 것은 ASTM-D2326에 채용되어 있는 것도 있으나 KS 상에는 전혀 없다. 그러나 不定常法은 신속한 測定法으로서, 現場, 工場, 혹은 研究實驗用 등으로 널리 이용되고 있다.

여러 방법중 使用 빈도가 많은 Probe 法과 示差熱法만 소개한다.

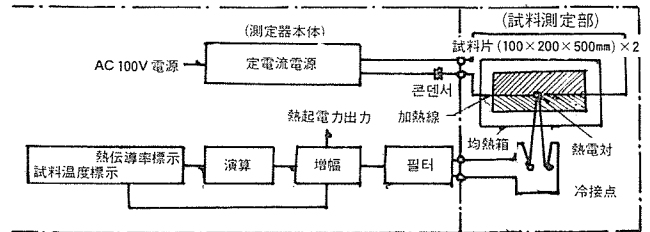
1) probe 裝置

本裝置의 特性은 不定常狀態에서 熱擴散率을 소거시키고 熱傳導率과 比熱密度의 關係式으로 구한다.

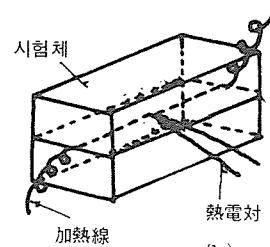
다음에 소개하는 裝置는 日本 京都電子(株)의 TC-31,32의 熱傳導率計(Thermal Conductivity meter)이다. 本裝置는 熱線(heating wire)을 이용한 不定常熱流法으로서 熱平衡을 기다리지 않고 加熱線의 온도상승상태를 파악

하여 熱傳導率을 측정하는 방법이다.

그림 8 (a)는 그의 熱傳導率計의 系統圖이며 그림 8 (b)에서 보는 바와같이 被檢試驗體의 中央에 接하여 긴 금속 가열선을 넣어 電流를 통하면 發熱(Joule heat)을 발생하여 加熱線은 온도가 올라간다.



(a)



(b)

그림 8

試驗體의 熱傳導率이 크면 열은 급격히 이동하여 擴散하므로 加熱線의 온도상승은 커지고 또한 빨라진다.

이렇게 加熱線의 온도상승이 試驗體의 熱傳導率에 따라 다른 점을 이용하여 熱傳導率을 측정한다.

최근에는 모든 시험장비가 그렇듯이, 측정치를 Digital로 표시한다.

室溫이외의 低溫 또는 高溫에서의 熱傳導率을 구할 때에는 試驗體의 測定部分은 保溫箱에 수납하여 恒溫器나 電氣爐속에 넣어 두고 측정코자 하는 온도로 한 다음 열전도율을 측정한다.

계산식은 다음과 같다.

$$\theta_2 - \theta_1 = \Delta\theta = \frac{q}{4\pi\lambda} m \frac{t_2}{t_1}$$

$$\therefore \lambda = \frac{q}{4\pi\Delta\theta} m \frac{t_2}{t_1}$$

여기에서

λ : 열전도율 (kcal/mh^{°C})

q : 加熱線의 길이와 시간에 대한 발열량 (kcal/hm)

t_1, t_2 : 가열시간 (sec) 임의의 측정간격

θ_1, θ_2 : 온도 (°C) - t_1, t_2 에 대응하는 probe의 온도

2) 示差熱法 裝置

本裝置는 定量 示差熱 分析法을 발전시킨 것으로 中央에 2개의 板狀의 히터(Heater)를 고정시키고 각각 試

料 2 板(합계 4 매)를 금속 Block에 고정시켜 試驗한다. 試料의 치수는 가로, 세로 50mm, 두께 10mm이며 양 히이터(heater)에 接하고 있는 試料의 溫度差를 示差熱伝付로 測定時間의 경과에 따라 測定한다.

$$\lambda = \frac{Hd}{2SA}$$

여기에서

- λ : 熱伝導率(kcal/mh°C)
- H : Heater의 全發熱量(kcal)
- d : 試料의 두께(m)
- S : 試料의 面積(m²)
- A : 溫度差 皮구의 面積

3 熱伝導率을 좌우하는 要因

固体材料는 모두 熱遮断性을 가지고 있으며 그 性能은 그 材質의 特性, 組織, 性分, 形態, 두께 等に 따라 현저한 차이를 나타내게 된다. 따라서 熱伝導率은 이와같은 사항에 의하여 달라지며 또한 測定時의 正確性에 따라 結果值에 차이가 난다. 다시 말해서 正確한 試驗方法과 結果整理에 依하였다고 하더라도 사전에 檢討한 事項과 비교하지 않으면 結果值의 신뢰도는 그 만큼 떨어지게 된다.

材料의 熱伝導率을 좌우하는 要因은 試料(試驗體)의 密度, 試驗에 위한 熱流의 方向, 試料兩面의 溫度 및 溫度差, 試料의 함수 : 함수상태에 의하여 熱伝導率이 變化하는 것으로 되어 있다. 이러한 점들을 미리 알지 못하면 正確한 實驗結果를 기대할 수 없다.

3. 1 溫度와 熱伝導率과의 關係

간단히 설명하면 材料의 熱伝導率은 溫度範圍가 0°C ~ 100°C 정도되면 溫度上昇에 비례하여 增加된다. 그림 9는 材料의 平均溫度와 熱伝導率의 증과의 關係를 표시한 것이다. 다시 말해서 材料의 断熱性은 일반적으로 溫度가 上昇하면 저하한다는 의미이다. 예를 들면 同一한 材料로 되어있는 部材일지라도 실내의 칸막이벽에 사용하는 경우와 햇빛이 직접 壁면에 닿는 外벽에 사용하는 경우와는 단열성이 달라지게 된다. 보통 標準狀態(20°C)를 기준으로 하여 생각하면 이것보다 40°C 정도 上昇한 溫度 즉 60°C 정도 되면 變化가 적은 材料는 약1.02배, 큰 材料는 1.5배쯤 된다고 한다. 그래서 高溫條件下(加熱炉, 等の 發熱體 部근의 材料)와 低温條件下에 使用하는 断熱材는 당연히 구별하지 않으면 안된다.

그림10은 各種 材料의 熱伝導率과 溫度와의 關係를 도표화 시킨 것이다.

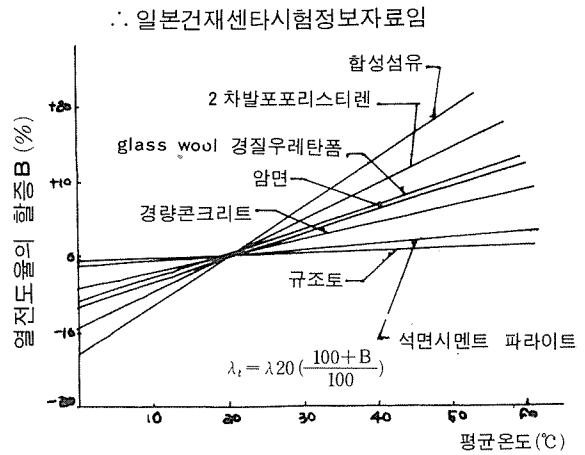


그림 9 平均溫度와 熱伝導率의 割増(20°C 基準)

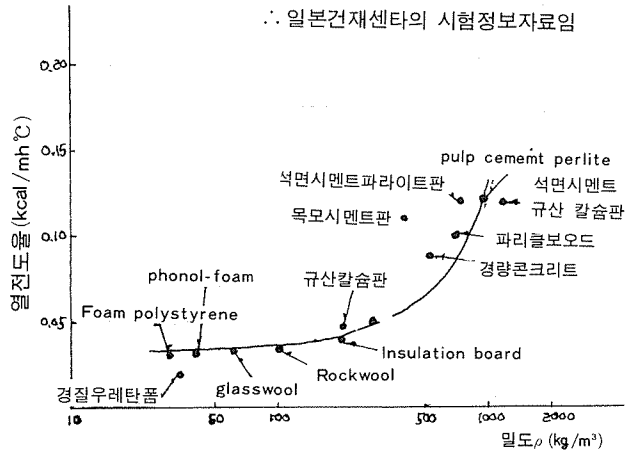


그림10. 密度 - 熱伝導率圖

3. 2 密度와 熱伝導率과의 關係

断熱材라고 하는 것은 대부분 충분한 空氣를 함유하고 있다. 덧붙여서 空氣의 断熱性은 어떠한 断熱材料의 断熱性能보다 우수하기 때문에 余하히 空氣를 材料內에 함유시키느냐에 따라 断熱性의 良否가 결정된다고 해도 지나친 말은 아니다. 그림10은 各種 材料의 密度와 断熱性과의 關係를 표시한 것인데 一般的으로 密度가 증가되면 熱伝導率이 커지며 경량재료가 断熱性이 좋은 것으로 되어 있다. 그러므로 熱伝導率을 測定하지 못하였을 때도 그 密度를 알므로서 그 材料의 대략 熱伝導率을 추측할 수 있다. 그러나 建築材料 전반에 있어서는 특수한 성질을 가지고 있는 것도 있다.

이러하면 유리섬유, 석면, 발포수지 等 多空質材料의 密度와 熱伝導率의 關係는 약간 복잡하다. 그러므로 모든 材料가 熱伝導率은 密度에 비례한다는 생각은 옳지 않다.

3.3 湿気, 水分과 熱傳導率의 關係

材料의 断熱性を 좌우하는 最大 要因으로서 湿気, 水分을 들수 있다. 材料內에 水分이 포함되면 0°C 이상에서는 液体로 존재하나 0°C 이하에서는 結氷된다. 一般의 으로 물의 熱傳導率은 0°C 이상에서는 0.6kcal/mh°C, 結氷狀態에서는 5.0kcal/mh°C 정도로서 断熱성이 不良하다. 그래서 断熱성이 있는 材料라 할지라도 材料內에 水分이 있으면 内部에 눈에 보이지 않는 미소한 기포에 물이 들어박혀서 기포가 断熱성에 有利하게 作用하던 狀態로 부터 一變하여 断熱성이 상당히 低下하게 된다. 따라서 콘크리트, 몰탈 等 물 보다 断熱성이 있는 材料라 할지라도 이러한 點에 충분한 주의를 기울려야 한다.

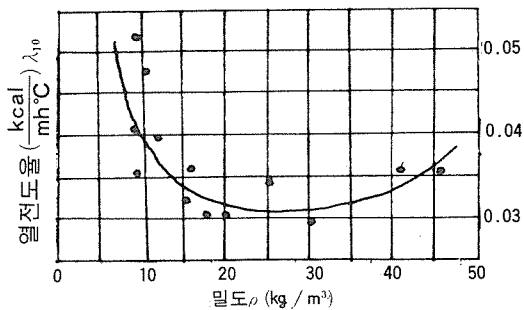


그림 11. 석면의 밀도와 열전도율과의 관계

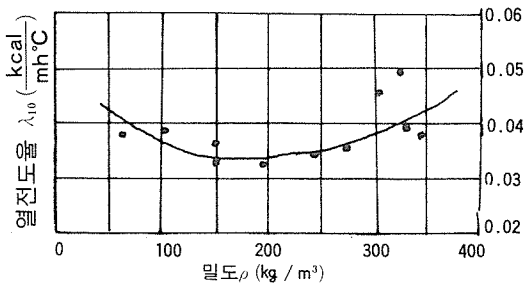


그림 12. 유리면의 밀도와 열전도율과의 관계

3.4 熱傳導率에 미치는 輻射의 影響

이점은 특히 中空壁에 대하여 注意를 要한다. 多孔質材料 및 空氣盡材料의 断熱성에 미치는 輻射의 影響은 의외로 最大하고 一般的으로는 空氣盡傳導率量의 70%정도가 輻射傳熱量이라는 點을 감안할때, 建物の 各 部分이 여름에 강한 日射를 받아서 高温에 달하거나 반대로 겨울에 室内의 暖房時에 内側壁 部分의 輻射傳熱量은 상당히 커진다. 이같은 輻射를 遮斷하는 方法은 空氣盡을 사이에 두고 兩面材料를 輻射係수가 적은 것을 使用하거나 혹은 室内에 輻射係수가 적은 防熱板을 使用하는 것이 좋다. 그러나 輻射係수가 적은 材料는 意外로 적고 上記의 目的으로 使用하려면 겨우 알미늄箔 정도에 불과하다 알미늄箔의 輻射係수는 0.1~0.2kcal/mh°C 정도로 모

든 建築材料보다. 훨씬 적은 값으로 熱線에 對하여 대단히 反射率이 높은 性質을 가지고 있다. 이러한 알미늄箔을 空氣盡表面 혹은 内部에 삽입하므로써 輻射傳熱의 90% 이상을 阻止할 수가 있다고 한다.

材料를 두는 位置와 熱流의 關係에 對하여 空氣盡材料 및 低密度의 多孔質纖維에 對하여 注意하지 않으면 안된다. 이러한 材料의 傳熱量은 熱流의 方向에 對하여서 上側에 둔 狀態가 제일 크고 이하 垂直, 下向의 順으로 된다. 建物の 天井속, 壁, 바닥이 空氣盡일때 이러한 房을 暖房하였다고 생각하면 室内로 부터의 熱損失量은 天井이 제일 많고 壁, 바닥의 順序로 된다.

또 天井속에 低密度의 유리섬유를 使用하면 섬유간의 間隙으로 부터 空氣가 振動하여 용이하게 熱을 운반할 수가 없게 된다. 따라서 이러한 種類의 材料를 使用함에 있어서는 上記 事項에 충분히 注意치 않으면 생각과는 다른 断熱性能이 되어버리는 일이 있다.

그림 13은 材料의 熱流別로 본 熱抵抗의 값이다.

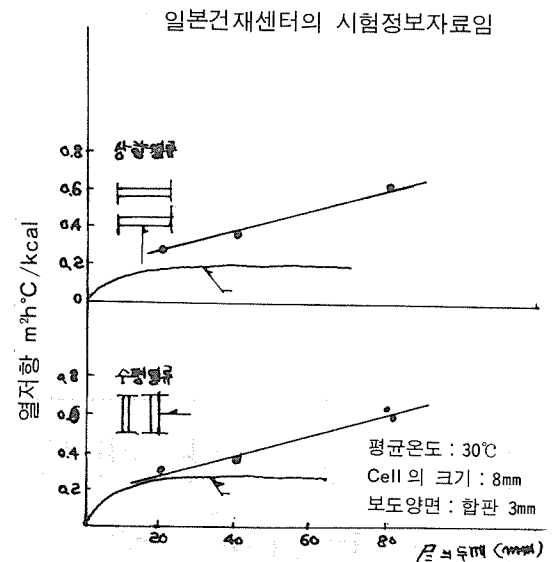


그림 13. Honey comb의 열저항 (예)

3.5 材料의 安全使用溫度

材料中에는 耐熱성이 있는 것과 熱을 받으면 變形, 수축 등이 일어나는 것이 있다. 一般的으로 断熱材라고 하는 것은 壁體内部에 使用하는 경우가 많아서 혹 熱을 받으면 龜裂, 수축 등이 일어나서 그 部分에서 熱의 이동이 일어나게 된다. 따라서 材料가 使用되는 장소에 따라 溫度條件을 고려하여 材料를 選擇하여야 한다.

3. 6 熱流의 測定에 關한 事項

2 熱伝導率測定裝置에서 기술한 바와같이 人力電源의 安定度가 나쁘다거나 電力測定計器의 精度가 낮으면 結果值의 信賴度가 저하되는 要因이 된다.

기타 計器의 特性을 충분히 이해하지 아니하고 實驗을 하게 되면 그만큼 오차의 범위도 커지게 된다.

이것은 熱量의 測定에 關한것 중에서 가장 重要한 事項이다.

4. 맺는말

現代 国内에서는 不定常熱流法(특히 probe 型)에 의한 裝置만이 확보되어 있으며 대부분이 工場品質管理用이다.

基礎實驗用으로서 보통 實驗室에서 사용하고 있는 定常熱流法에 의한 裝置는 国内에서 確認된 것이 없다.

KS 規格上에는 定常熱流法에 의한 測定方法만이 채택되어 있어 規格의 活用이 사실상 되지 않고 있다고 볼 수 있다.

따라서 不定常熱流法에 의한 KS 規格의 채택여부 검토와 定常熱流法에 의한 裝置를 保有하여 材料의 研究·開發·實驗에 이용하여야 할것이다.

또한 이의 효율적인 이용을 위하여는 建築材料 試驗師의 養成과 品質管理의 體係確立이 同時에 이루어져야 할것으로 본다. ■

(國立建設研究所 建築資材料)

검소한 생활로 물가고를 이기자
하루위해 낭비말고 백년위해 저축하자